

УДК 532.542

ТЕРМОДИНАМИЧЕСКИЙ АНАЛИЗ ТЕЧЕНИЯ НЕСМЕШИВАЮЩИХСЯ ЖИДКОСТЕЙ С МОМЕНТНЫМИ НАПРЯЖЕНИЯМИ В КАНАЛЕ

Дж. Сринивас, Дж. В. Рамана Мерфи*

Национальный технологический институт, 793003 Шиллонг, Индия

* Национальный технологический институт, 506004 Варангал, Индия

E-mails: jsrinivas@nitm.ac.in, jvrjosyula@yahoo.co.in

С использованием модели Стокса течения с моментными напряжениями проведено исследование скорости производства энтропии и переноса тепла в потоке несмешивающихся жидкостей с моментными напряжениями между двумя горизонтальными параллельными пластинами, на которых поддерживаются различные постоянные температуры, превышающие температуру жидкости, при постоянном градиенте давления. На пластинах задается классическое условие прилипания, а на поверхности раздела ставятся условия непрерывности скорости, вихря, моментных напряжений, касательных напряжений, температуры и потока тепла. Аналитически получены распределения скорости и температуры, которые используются для вычисления параметра производства энтропии и числа Бежана. Исследуется влияние параметра моментных напряжений и числа Рейнольдса на скорость, температуру, параметр производства энтропии и число Бежана. Установлено, что в жидкостях с моментными напряжениями с увеличением моментного напряжения трение вблизи пластин уменьшается.

Ключевые слова: несмешивающиеся жидкости, жидкость с моментными напряжениями, параметр производства энтропии, число Бежана.

DOI: 10.15372/PMTF20160606

Введение. Минимизация производства энтропии — это метод моделирования и оптимизации различных тепловых систем. При определенных геометрических и физических параметрах могут быть минимизированы общее производство энтропии в этих системах и потеря доступной энергии, а следовательно, и производство энтропии. Для определения скорости производства энтропии вследствие переноса тепла и течения жидкости в канале, а также для минимизации производства энтропии необходимо использовать второй закон термодинамики. Однако большинство исследований основано только на первом законе термодинамики. Для увеличения коэффициента полезного действия системы в работах [1, 2] предложен метод минимизации производства энтропии, основанный на совместном применении первого и второго законов термодинамики.

В последнее время большое внимание уделяется исследованию течений двух или более несмешивающихся жидкостей с различными плотностями (вязкостями) в трубе, канале или пористой среде. Типичными примерами таких систем движения жидкостей являются системы воздух — вода, пресная вода — соленая вода, нефть — вода, газ — нефть, газ — нефть — вода и т. д. Такие течения называются многофазными [3]. В работе [4] полу-

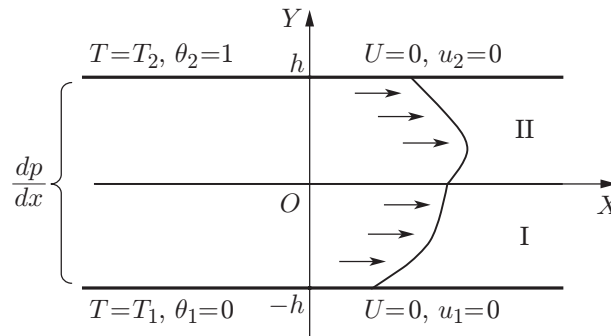


Рис. 1. Схема задачи:

I — область $-h \leq Y \leq 0$, II — область $0 \leq Y \leq h$

чено аналитическое решение задачи о ламинарном течении двух несмешивающихся жидкостей между двумя параллельными пластинами. В [5] найдено аналитическое решение в случае течения двух несмешивающихся жидкостей в пористой среде со стационарной поверхностью раздела. В работе [6] представлены результаты эксперимента, в котором с использованием оптико-механического метода исследовалось течение двух несмешивающихся (ньютоновской и неньютоновской) жидкостей в трубе. В [7] проведен анализ течения и теплопереноса двух электропроводящих и тепловыделяющих или теплопоглощающих несмешивающихся жидкостей в бесконечно длинном вертикальном канале при наличии или отсутствии пористой среды и магнитного поля. В [8] подробно изучены термодинамические условия на поверхности раздела несмешивающихся жидкостей. Показано, что минимальный градиент температуры в поперечном направлении течения обеспечивает минимальное производство энтропии вблизи пластин.

Теория жидкостей с моментными напряжениями, предложенная в работе [9], характеризуется наличием моментных напряжений, массовых пар сил и несимметричного тензора напряжений. Влияние микроструктуры в жидкости является существенным, если характерный геометрический размер рассматриваемой задачи имеет тот же порядок, что и размер элементов микроструктуры. В классической механике сплошных сред не учитывается размер материальных частиц в сплошных средах, а следовательно, и вращательное взаимодействие частиц. Поэтому тензор силовых напряжений является симметричным. Однако в ряде случаев, например при движении жидкости со взвешенными частицами, необходимо использовать модели среды, учитывающие моментные напряжения. Такие модели описывают различные типы смазки, движение крови, суспензии и т. д. В работе [10] рассмотрено гидромагнитное установившееся течение жидкости с учетом моментных напряжений.

В данной работе исследуется влияние моментных напряжений на скорость производства энтропии для течения двух несмешивающихся жидкостей между двумя параллельными пластинами.

1. Постановка задачи и основные уравнения. Рассмотрим течение двух несмешивающихся жидкостей с моментными напряжениями, движущихся между двумя параллельными пластинами, находящимися на расстоянии $2h$ друг от друга. Ось X направлена вдоль пластин, ось Y — перпендикулярно им (рис. 1). Длина пластин существенно больше расстояния между ними. Возникновение течения обусловлено наличием постоянного градиента давления, действующего в устье канала. Жидкость, имеющая вязкость μ_1 , плотность ρ_1 и теплопроводность k_1 , занимает область $-h \leq Y \leq 0$ (область I). Жидкость, имеющая вязкость μ_2 , плотность $\rho_2 < \rho_1$ и теплопроводность k_2 , занимает область $0 \leq Y \leq h$ (область II). Плотность жидкости в области I больше плотности жидкости в области II. Уравнения движения и энергии в областях I и II ($-h \leq Y \leq h$) имеют

вид [9–12]

$$\frac{\partial \rho}{\partial t} + \operatorname{div}(\rho \mathbf{q}) = 0; \quad (1)$$

$$\rho \frac{d\mathbf{q}}{dt} = \rho \mathbf{f} + \frac{1}{2} \operatorname{rot}(\rho \mathbf{l}) - \operatorname{grad} P + \mu \operatorname{rot}(\operatorname{rot} \mathbf{q}) - \eta \operatorname{rot}(\operatorname{rot}(\operatorname{rot}(\operatorname{rot} \mathbf{q}))) + \\ + (\lambda + 2\mu) \operatorname{grad}(\operatorname{div} \mathbf{q}); \quad (2)$$

$$\rho \frac{dE}{dt} = \Phi + k \nabla^2 T, \quad (3)$$

где

$$\Phi = \mu[(\operatorname{grad} \mathbf{q}) : (\operatorname{grad} \mathbf{q})^T + (\operatorname{grad} \mathbf{q}) : (\operatorname{grad} \mathbf{q})] + 4\eta[(\operatorname{grad} \boldsymbol{\omega}) : (\operatorname{grad} \boldsymbol{\omega})^T] + \\ + 4\eta'[(\operatorname{grad} \boldsymbol{\omega}) : (\operatorname{grad} \boldsymbol{\omega})],$$

ρ — плотность; P — давление жидкости в любой точке; \mathbf{q} , $\boldsymbol{\omega} = (1/2) \operatorname{rot} \mathbf{q}$, \mathbf{f} , \mathbf{l} — скорость, завихренность (вектор спина), массовая сила на единицу массы и пара массовых сил на единицу массы соответственно; λ , μ — сдвиговая и объемная вязкости; η , η' — вязкости моментных напряжений, удовлетворяющие условиям $\mu \geq 0$, $3\lambda + 2\mu \geq 0$, $\eta \geq 0$, $\eta' \leq \eta$. В случае вязких жидкостей параметр длины $L = \sqrt{\eta/\mu}$, являющийся характерной мерой полярности жидкости с моментными напряжениями, тождественно равен нулю. В уравнении переноса энергии Φ — функция диссипации механической энергии на единицу массы; E — удельная внутренняя энергия; T — температура.

Тензор силовых напряжений τ_{ij} и тензор моментных напряжений M_{ij} определяются следующим образом:

$$\tau_{ij} = (-P + \lambda \operatorname{div} \mathbf{q}) \delta_{ij} + 2\mu d_{ij} + (1/2) \varepsilon_{ijk} (m_{,k} + 4\eta w_{k,rr} + \rho c_k), \\ M_{ij} = (1/3) m \delta_{ij} + 4\eta \omega_{j,i} + 4\eta' \omega_{i,j}.$$

Здесь $\omega_{i,j}$ — спиновый тензор; ρc_k — вектор пары массовых сил; d_{ij} — компоненты скорости сдвиговых деформаций; δ_{ij} — символ Кронекера; ε_{ijk} — символ Леви — Чивиты; запятая обозначает ковариантное дифференцирование.

Для построения определяющих уравнений рассматриваемой задачи примем следующие предположения:

- 1) течение является установившимся ламинарным и одномерным;
- 2) жидкости являются несжимаемыми.

Скорость жидкости равна $\mathbf{q} = (U(Y), 0, 0)$ и удовлетворяет уравнению неразрывности (1). В отсутствие массовых сил и пар массовых сил определяющие уравнения (2), (3) движения жидкости для данной задачи сводятся к уравнениям для двух областей:

$$\eta_i \frac{d^4 U_i}{dY^4} - \mu_i \frac{d^2 U_i}{dY^2} - \frac{dP}{dX} = 0; \\ \mu_i \left(\frac{dU_i}{dY} \right)^2 + \eta_i \left(\frac{d^2 U_i}{dY^2} \right)^2 + k_i \frac{d^2 T_i}{dY^2} = 0, \quad i = 1, 2. \quad (4)$$

Вводя безразмерные величины

$$x = \frac{X}{h}, \quad y = \frac{Y}{h}, \quad u = \frac{U}{U_0}, \quad p = \frac{P}{\rho_1 U_0^2}$$

(U_0 — максимальная скорость жидкости в канале), получаем следующие определяющие уравнения в безразмерной форме и граничные условия, соответствующие движению в двух областях:

$$\frac{d^4 u_1}{dy^4} - s_1 \frac{d^2 u_1}{dy^2} = -\operatorname{Re} s_1 \frac{dp}{dx}, \quad -1 \leq y \leq 0; \quad (5)$$

$$\frac{d^4 u_2}{dy^4} - s_2 \frac{d^2 u_2}{dy^2} = -\operatorname{Re} s_2 \frac{1}{n_\mu} \frac{dp}{dx}, \quad 0 \leq y \leq 1. \quad (6)$$

Здесь $\operatorname{Re} = \rho_1 U_0 h / \mu_1$ — число Рейнольдса; $s_i = \mu_i h^2 / \eta_i$ ($i = 1, 2$) — параметр моментных напряжений; $n_\mu = \mu_2 / \mu_1$ — отношение вязкостей.

2. Условия на твердых границах и на поверхности раздела. Особенностью течения двух несмешивающихся жидкостей является их взаимодействие через поверхность раздела жидкость — жидкость. При этом на границе раздела происходит перенос количества движения.

Чтобы определить распределения скорости $u_1(y)$, $u_2(y)$ в областях I и II, примем следующие условия на границах и поверхности раздела.

С учетом условия прилипания на неподвижных границах необходимо положить

$$u_1(y) = 0 \quad \text{при} \quad y = -1, \quad u_2(y) = 0 \quad \text{при} \quad y = 1. \quad (7)$$

В работе [10] предложены граничные условия двух типов: 1) обращение в нуль моментных напряжений на границе; 2) обращение в нуль завихренности на границе. В данной работе принимается условие 1. На неподвижной границе это условие имеет вид

$$\frac{d^2 u_1}{dy^2} = 0 \quad \text{при} \quad y = -1, \quad \frac{d^2 u_2}{dy^2} = 0 \quad \text{при} \quad y = 1 \quad (8)$$

(условие “суперприлипания”).

Предполагается, что на поверхности раздела жидкость — жидкость $y = 0$ компоненты скорости, завихренности, касательных напряжений и моментных напряжений непрерывны. Тогда

$$u_{1(0-)} = u_{2(0+)}, \quad \left. \frac{du_1}{dy} \right|_{(0-)} = \left. \frac{du_2}{dy} \right|_{(0+)}, \quad \tau_{1xy}|_{(0-)} = \tau_{2xy}|_{(0+)}, \quad M_{1xy}|_{(0-)} = M_{2xy}|_{(0+)}. \quad (9)$$

Из последних двух условий (9) следует

$$\left(s_1 \frac{du_1}{dy} - \frac{d^3 u_1}{dy^3} \right) \Big|_{y=0} = n_\eta \left(s_2 \frac{du_2}{dy} - \frac{d^3 u_2}{dy^3} \right) \Big|_{y=0}, \quad \left(\frac{d^2 u_1}{dy^2} \right) \Big|_{y=0} = n_\eta \left(\frac{d^2 u_2}{dy^2} \right) \Big|_{y=0},$$

где $n_\eta = \eta_2 / \eta_1$ — отношение коэффициентов моментных напряжений.

3. Решение задачи. Получим аналитические выражения для распределений скорости и температуры течения между двумя пластинами.

3.1. *Анализ первого закона термодинамики.* Решением уравнения (5) является распределение скорости в области I в виде

$$u_1(y) = c_{11} + c_{12}y + c_{13} \operatorname{ch} s_1 y + c_{14} \operatorname{sh} s_1 y + \operatorname{Re} B y^2 / 2,$$

решением уравнения (6) — распределение скорости в области II в виде

$$u_2(y) = c_{21} + c_{22}y + c_{23} \operatorname{ch} s_2 y + c_{24} \operatorname{sh} s_2 y + \operatorname{Re} B y^2 / (2n_\mu).$$

Здесь $B = dp/dx = \operatorname{const}$. Решения $u_1(y)$ и $u_2(y)$ содержат восемь постоянных c_{11} , c_{12} , c_{13} , c_{14} , c_{21} , c_{22} , c_{23} , c_{24} , которые определяются из краевых условий (7)–(9). Выражения для этих коэффициентов в данной работе не приводятся вследствие их громоздкости.

По найденным распределениям скорости определяются распределения температуры из уравнения энергии (4). Сопряжение решений в областях I и II обеспечивается условиями непрерывности температуры на поверхности раздела и баланса теплового потока через поверхность раздела. В данной задаче предполагается, что на обеих пластинах поддерживаются постоянные температуры T_1 и T_2 ($T_1 < T_2$). Тогда определяющее уравнение для температуры T_1 проводящей жидкости в области I имеет вид

$$k_1 \frac{d^2 T_1}{dY^2} = - \left[\mu_1 \left(\frac{dU_1}{dY} \right)^2 + \eta_1 \left(\frac{d^2 U_1}{dY^2} \right)^2 \right], \quad (10)$$

определяющее уравнение для температуры T_2 проводящей жидкости в области II — вид

$$k_2 \frac{d^2 T_2}{dY^2} = - \left[\mu_2 \left(\frac{dU_2}{dY} \right)^2 + \eta_2 \left(\frac{d^2 U_2}{dY^2} \right)^2 \right]. \quad (11)$$

Для обезразмеривания уравнений (10), (11) введем безразмерную температуру $\theta = (T - T_1)/(T_2 - T_1)$. В результате уравнения (10), (11) принимают вид

$$\begin{aligned} \frac{d^2 \theta_1}{dy^2} &= - \text{Br} \left[\left(\frac{du_1}{dy} \right)^2 + \frac{1}{s_1} \left(\frac{d^2 u_1}{dy^2} \right)^2 \right], \\ \frac{d^2 \theta_2}{dy^2} &= - \text{Br} \frac{n_\mu}{n_k} \left[\left(\frac{du_2}{dy} \right)^2 + \frac{1}{s_2} \left(\frac{d^2 u_2}{dy^2} \right)^2 \right]. \end{aligned} \quad (12)$$

Здесь $\text{Br} = \text{Ec Pr}$ — число Бринкмана; $\text{Ec} = U_0^2/(c_{p1}(T_2 - T_1))$ — число Эккерта; $\text{Pr} = \mu_1 c_{p1}/k_1$ — число Прандтля; $n_k = k_2/k_1$ — отношение теплопроводностей.

Для уравнений (12) ставятся следующие граничные условия:

$$\theta_1 = 0 \quad \text{при} \quad y = -1, \quad \theta_2 = 1 \quad \text{при} \quad y = 1; \quad (13)$$

$$\theta_1 = \theta_2, \quad \frac{d\theta_1}{dy} = n_k \frac{d\theta_2}{dy} \quad \text{при} \quad y = 0. \quad (14)$$

На поверхности раздела жидкость — жидкость $y = 0$ температура θ и тепловой поток \mathbf{h} непрерывны.

Решения уравнений (12) с условиями на твердых границах и на поверхности раздела найдены аналитически и вследствие громоздкости в данной работе не приводятся. Решения содержат четыре постоянные, которые определяются из четырех граничных условий (13), (14).

Скорость переноса тепла на пластинах оценивается с использованием закона теплопроводности Фурье $\mathbf{h} = -k\nabla T$. Скорость переноса тепла в безразмерной форме представляет собой число Нуссельта: $\text{Nu} = -(d\theta/dy)|_{y=\pm 1}$.

3.2. *Анализ второго закона термодинамики.* Зная распределения скорости течения и температуры жидкости, можно определить объемную скорость производства энтропии для несжимаемой жидкости с моментными напряжениями, обусловленную необратимостью переноса тепла и трения в жидкости:

$$(S_i)_G = \frac{k_i}{T_0^2} \left(\frac{dT_i}{dY} \right)^2 + \frac{\mu_i}{T_0} \left(\frac{dU_i}{dY} \right)^2 + \frac{\eta_i}{T_0} \left(\frac{d^2 U_i}{dY^2} \right)^2. \quad (15)$$

Здесь индекс $i = 1$ соответствует области I, индекс $i = 2$ — области II. В правой части равенства (15) первый член характеризует необратимость процесса переноса тепла, два остальных члена — производство энтропии, зависящее от вязкой диссипации Φ .

Выражение для характерной скорости переноса энтропии имеет вид [1]

$$S_{G,C} = k_1(\Delta T)^2/(h^2 T_0^2),$$

где T_0 — абсолютная начальная температура среды; $\Delta T = T_2 - T_1$; h — половина ширины канала.

Согласно [1] параметр производства энтропии N_s равен отношению скорости производства энтропии к характерной скорости переноса энтропии. В безразмерных переменных выражения для параметра производства энтропии для каждой жидкости имеют вид

$$N_{s1} = \frac{(S_1)_G}{S_{G,C}} = \left(\frac{d\theta_1}{dy} \right)^2 + \frac{\text{Br}}{\Omega} \left[\left(\frac{du_1}{dy} \right)^2 + \frac{1}{s_1} \left(\frac{d^2 u_1}{dy^2} \right)^2 \right],$$

$$N_{s_2} = \frac{(S_2)G}{S_{G,C}} = n_k \left(\frac{d\theta_2}{dy} \right)^2 + \frac{\text{Br}}{\Omega} n_\mu \left[\left(\frac{du_2}{dy} \right)^2 + \frac{1}{s_2} \left(\frac{d^2u_2}{dy^2} \right)^2 \right],$$

где $\text{Br} = \mu_1 U_0^2 / (k_1 \Delta T)$ — число Бринкмана; $\Omega = \Delta T / T_0$ — безразмерный перепад температур.

Наряду с параметром производства энтропии N_s используется параметр необратимости (число Бежана Be), представляющий собой отношение производства энтропии вследствие переноса тепла N_y к общему производству энтропии N_s [13]:

$$\text{Be} = \frac{N_y}{N_s} = \frac{N_y}{N_y + N_f} = \frac{1}{1 + N_f/N_y}.$$

При $\text{Be} \rightarrow 1$ необратимость, обусловленная переносом тепла, преобладает над необратимостью вследствие наличия трения в жидкости, при $\text{Be} \rightarrow 0$ необратимость, обусловленная трением в жидкости, преобладает над необратимостью вследствие переноса тепла.

4. Результаты исследования и их обсуждение. Проведен анализ первого и второго законов термодинамики для течения двух несмешивающихся жидкостей с моментными напряжениями. На рис. 2–13 показано влияние различных параметров на скорость, температуру, параметр производства энтропии и число Бежана.

Влияние параметра моментных напряжений s_2 на скорость показано на рис. 2. Очевидно, что при увеличении s_2 скорость увеличивается в обеих областях канала. При $s_2 \rightarrow \infty$ ($\eta \rightarrow 0$) жидкость является ньютоновской. Из рис. 2 следует, что в случае жидкости с моментными напряжениями скорость меньше, чем в случае ньютоновской жидкости. Таким образом, наличие моментных напряжений в жидкости приводит к уменьшению скорости. Это может быть обусловлено тем, что при наличии моментных напряжений некоторая доля энергии затрачивается на вращение частиц, в результате чего скорость частиц уменьшается. На рис. 3 показано влияние числа Рейнольдса Re на скорость. Видно, что при увеличении числа Рейнольдса скорость увеличивается.

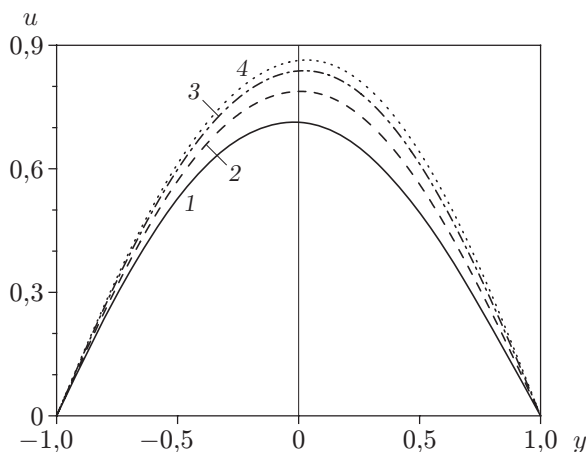


Рис. 2

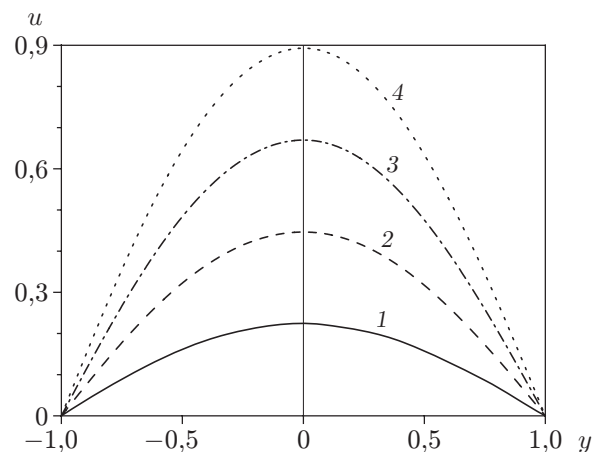


Рис. 3

Рис. 2. Влияние параметра моментных напряжений s_2 на скорость u при $B = -1,5$, $n_\eta = 0,7$, $n_\mu = 0,9$, $\text{Re} = 2$, $s_1 = 2$:

1 — $s_2 = 1$, 2 — $s_2 = 2$, 3 — $s_2 = 3$, 4 — $s_2 = 4$

Рис. 3. Влияние числа Рейнольдса Re на скорость u при $B = -1,1$, $n_\eta = 0,8$, $n_\mu = 0,9$, $s_1 = 2$, $s_2 = 1,5$:

1 — $\text{Re} = 1$, 2 — $\text{Re} = 2$, 3 — $\text{Re} = 3$, 4 — $\text{Re} = 4$

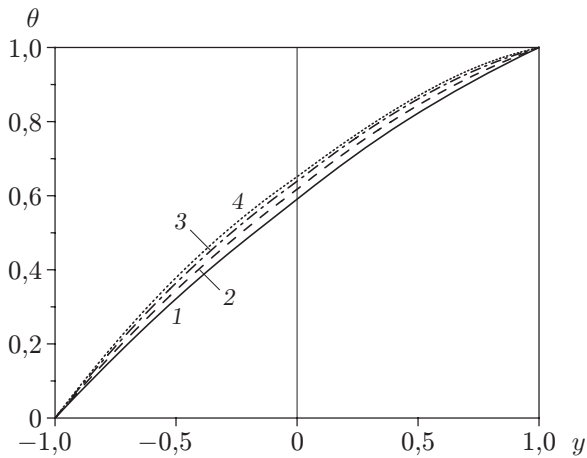


Рис. 4

Рис. 4. Влияние параметра моментных напряжений s_2 на температуру θ при $B = -0,2$, $Br = 1,8$, $n_\mu = 0,7$, $n_\eta = 0,8$, $n_k = 0,9$, $Re = 2,5$, $s_1 = 2$:

1 — $s_2 = 1$, 2 — $s_2 = 2$, 3 — $s_2 = 3$, 4 — $s_2 = 4$

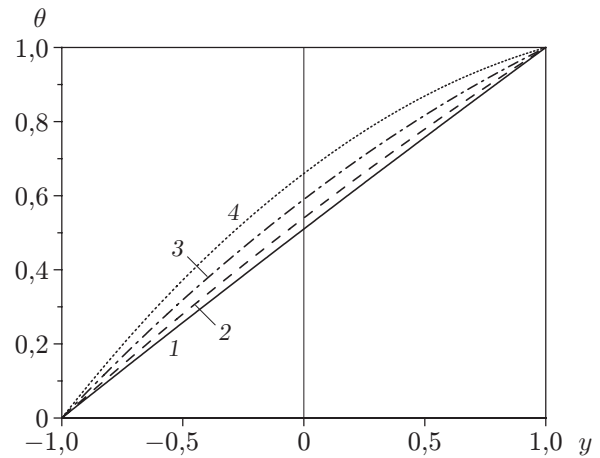


Рис. 5

Рис. 5. Влияние числа Рейнольдса Re на температуру θ при $B = -0,2$, $Br = 2$, $n_\mu = 0,8$, $n_\eta = 0,8$, $n_k = 1$, $s_1 = 2$, $s_2 = 2$:

1 — $Re = 1$, 2 — $Re = 2$, 3 — $Re = 3$, 4 — $Re = 4$

Влияние параметра моментных напряжений s_2 на температуру показано на рис. 4. Обнаружено, что при увеличении s_2 температура в обеих областях канала увеличивается. Таким образом, наличие моментных напряжений вызывает уменьшение температуры жидкости.

На рис. 5 показано влияние числа Рейнольдса Re на температуру. Видно, что при увеличении числа Рейнольдса температура возрастает.

Из рис. 6 следует, что с увеличением числа Бринкмана Br вследствие наличия вязкой диссипации температура увеличивается. На рис. 7 показано влияние числа Рейнольдса Re на зависимость числа Нуссельта Nu от числа Бринкмана Br . Видно, что при увеличении числа Рейнольдса Re число Нуссельта Nu увеличивается.

На рис. 8 показано влияние параметра моментных напряжений s_2 на параметр производства энтропии N_s . При увеличении s_2 скорость производства энтропии в канале вблизи пластин увеличивается, а вблизи поверхности раздела уменьшается. Так как вязкие жидкости являются частным случаем жидкостей с моментными напряжениями при $s_2 \rightarrow \infty$, можно сделать вывод, что для вязких жидкостей трение в жидкости больше, чем для жидкостей с моментными напряжениями вблизи пластин. В то же время вязкие жидкости имеют меньшую скорость вязкой диссипации на поверхности раздела. На рис. 9 показано влияние числа Рейнольдса Re на параметр производства энтропии N_s . Увеличение Re приводит к существенному увеличению значения N_s . Скорость производства энтропии вблизи пластин возрастает быстрее в области I. Это означает, что жидкость, вязкость которой больше, имеет большую скорость производства энтропии. На рис. 10 видно, что при увеличении параметра вязкой диссипации Br/Ω параметр производства энтропии N_s увеличивается. На поверхности раздела жидкостей значение N_s является минимальным, следовательно, эксергия максимальна, а диссипация энергии минимальна. При $Br/\Omega = 0$ необратимость вследствие наличия трения в жидкости не оказывает влияния на производство энтропии, которое уменьшается по направлению к нагретым пластинам, приближаясь к нулю.

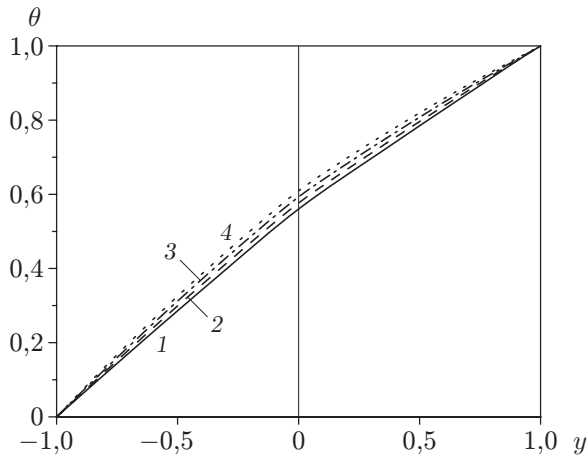


Рис. 6

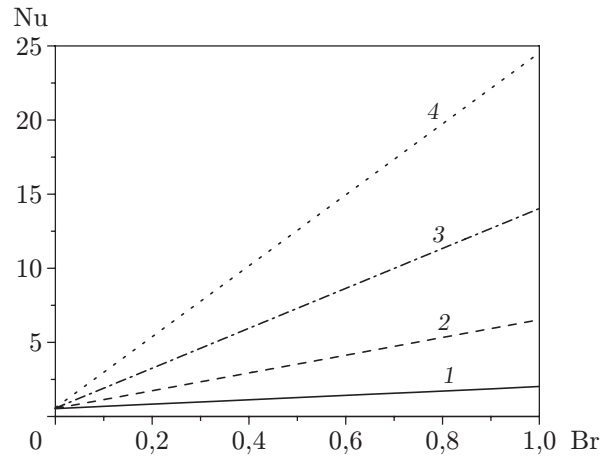


Рис. 7

Рис. 6. Влияние числа Бринкмана Br на температуру θ при $B = -0,4$, $n_\mu = 0,8$, $n_\eta = 0,9$, $n_k = 1,2$, $Re = 3$, $s_1 = 2$, $s_2 = 2$:

1 — $Br = 0,1$, 2 — $Br = 0,2$, 3 — $Br = 0,3$, 4 — $Br = 0,4$

Рис. 7. Влияние числа Рейнольдса Re на зависимость числа Нуссельта Nu от числа Бринкмана Br при $B = -0,5$, $n_\mu = 0,6$, $n_\eta = 0,8$, $n_k = 1,1$, $s_1 = 2$, $s_2 = 3$:

1 — $Re = 1$, 2 — $Re = 2$, 3 — $Re = 3$, 4 — $Re = 4$

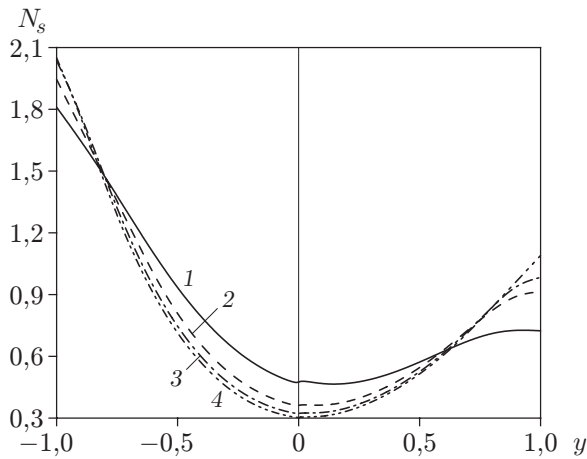


Рис. 8

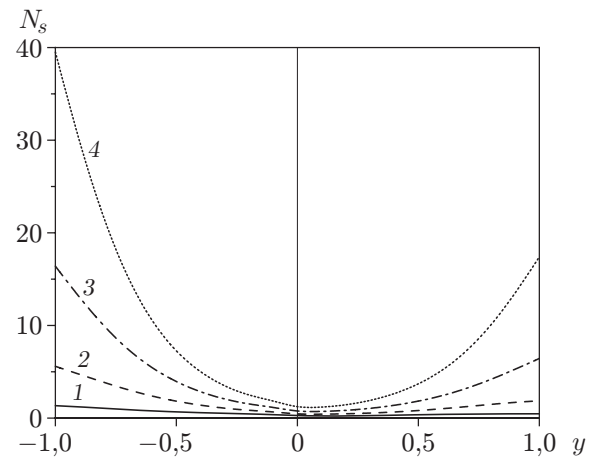


Рис. 9

Рис. 8. Влияние параметра моментных напряжений s_2 на параметр производства энтропии N_s при $B = -2$, $Br = 0,8$, $n_\mu = 0,9$, $n_\eta = 0,8$, $n_k = 1$, $Re = 2$, $s_1 = 2$, $\Omega = 1$:

1 — $s_2 = 5$, 2 — $s_2 = 10$, 3 — $s_2 = 15$, 4 — $s_2 = 20$

Рис. 9. Влияние числа Рейнольдса Re на параметр производства энтропии N_s при $B = -0,2$, $Br = 5$, $n_\mu = 0,8$, $n_\eta = 0,8$, $n_k = 1,2$, $s_1 = 8$, $s_2 = 8$, $\Omega = 1$:

1 — $Re = 1$, 2 — $Re = 2$, 3 — $Re = 3$, 4 — $Re = 4$

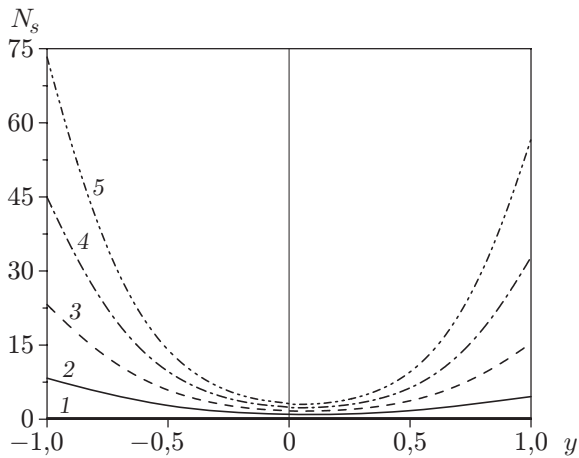


Рис. 10

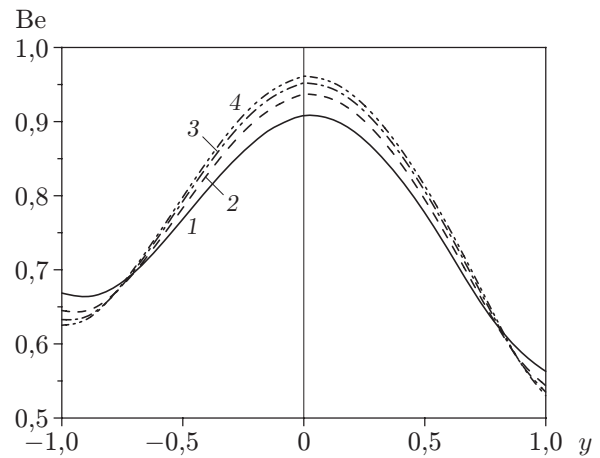


Рис. 11

Рис. 10. Влияние параметра вязкой диссипации Br/Ω на параметр производства энтропии N_s при $B = -1,6$, $n_\mu = 0,7$, $n_\eta = 0,7$, $n_k = 1,2$, $Re = 4$, $s_1 = 6$, $s_2 = 6$:
 1 — $Br/\Omega = 0$, 2 — $Br/\Omega = 0,1$, 3 — $Br/\Omega = 0,2$, 4 — $Br/\Omega = 0,3$, 5 — $Br/\Omega = 0,4$

Рис. 11. Влияние параметра моментных напряжений s_2 на число Бежана Be при $B = -0,1$, $Br = 0,9$, $n_\mu = 0,6$, $n_\eta = 0,8$, $n_k = 0,8$, $Re = 2$, $s_1 = 5$, $\Omega = 1$:
 1 — $s_2 = 5$, 2 — $s_2 = 10$, 3 — $s_2 = 15$, 4 — $s_2 = 20$

На рис. 11 показано влияние параметра моментных напряжений s_2 на число Бежана. Видно, что с увеличением s_2 вблизи пластин число Бежана уменьшается, а вблизи поверхности раздела — увеличивается. На поверхности раздела число Бежана быстро изменяется. На рис. 12 показано влияние числа Рейнольдса Re на число Бежана Be . При увеличении Re значение Be уменьшается. Вблизи пластин число Бежана Be изменяется более существенно, чем на поверхности раздела. На рис. 13 видно, что число Бежана является максимальным на поверхности раздела и уменьшается в направлениях к стенкам канала. При увеличении параметра вязкой диссипации Br/Ω число Бежана уменьшается. При $Br/\Omega = 0$ число Бежана принимает максимальное теоретическое значение $Be = 1$, т. е. трение в жидкости не оказывает влияния на производство энтропии. При других значениях Br/Ω число Бежана достигает максимального значения вблизи оси канала и уменьшается вблизи стенок. Из рис. 10 следует, что при увеличении параметра вязкой диссипации Br/Ω производство энтропии на обеих стенках увеличивается, а на поверхности раздела принимает минимальное значение. Этот результат согласуется с данными работы [8].

Заключение. При исследовании влияния моментных напряжений на скорость, температуру, параметр производства энтропии и число Бежана проведен анализ первого и второго законов термодинамики. Изучено влияние параметра вязкой диссипации Br/Ω на параметр производства энтропии N_s и число Бежана Be . Установлено, что при наличии моментных напряжений в жидкости ее скорость и температура внутри канала уменьшаются. Скорость производства энтропии N_s максимальна вблизи пластин и минимальна на поверхности раздела. Это свидетельствует о том, что наличие трения, обусловленного наличием поверхности раздела жидкостей, вызывает увеличение скорости производства энтропии. Скорость производства энтропии N_s в области I больше, чем в области II, т. е. в жидкости, имеющей большую вязкость, скорость производства энтропии больше. На поверхности раздела число Бежана является максимальным, следовательно, эксергия максимальна и необратимость потерь энергии минимальна. При увеличении моментных

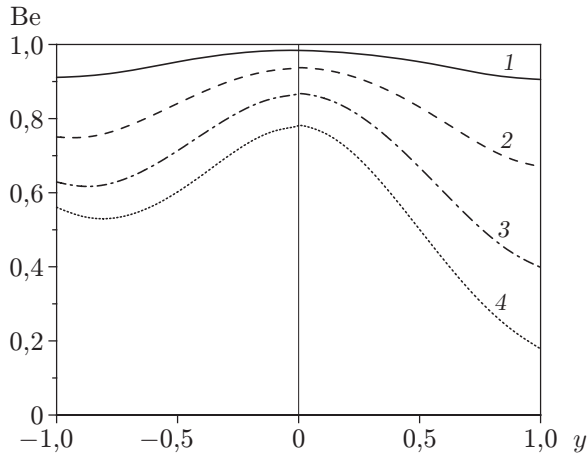


Рис. 12

Рис. 12. Влияние числа Рейнольдса Re на число Бежана Be при $B = -0,1$, $Br = 4$, $n_\mu = 0,8$, $n_\eta = 0,8$, $n_k = 0,8$, $s_1 = 8$, $s_2 = 8$, $\Omega = 1$:
 1 — $Re = 1$, 2 — $Re = 2$, 3 — $Re = 3$, 4 — $Re = 4$

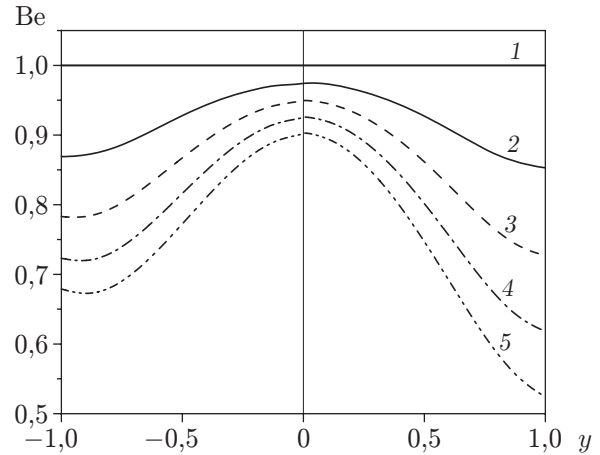


Рис. 13

Рис. 13. Влияние параметра вязкой диссипации Br/Ω на число Бежана Be при $B = -0,1$, $n_\mu = 0,8$, $n_\eta = 0,9$, $n_k = 1$, $Re = 8$, $s_1 = 8$, $s_2 = 8$:
 1 — $Br/\Omega = 0$, 2 — $Br/\Omega = 0,1$, 3 — $Br/\Omega = 0,2$, 4 — $Br/\Omega = 0,3$, 5 — $Br/\Omega = 0,4$

напряжений на поверхности раздела увеличивается эксергия, а на пластинах — вязкая диссипация, обусловленная наличием трения. Таким образом, в вязких жидкостях трение больше вблизи пластин, а эксергия — на поверхности раздела. Следовательно, жидкости с моментными напряжениями могут использоваться в качестве смазочных веществ. Параметр вязкой диссипации Br/Ω оказывает существенное влияние на скорость производства энтропии. Большее значение параметра вязкой диссипации обуславливает бóльшую скорость производства энтропии вблизи пластин. В области I производство энтропии вблизи пластин увеличивается быстрее, чем в области II.

ЛИТЕРАТУРА

1. **Bejan A.** A study of entropy generation in fundamental convective heat transfer // J. Heat Transfer. 1979. V. 101. P. 718–725.
2. **Bejan A.** Second law analysis in heat transfer // Energy. 1980. V. 5. P. 721–732.
3. **Chaturani P., Samy R. P.** A study of non-Newtonian aspects of blood flow through stenosed arteries and its applications in arterial diseases // Biorheology. 1985. V. 22. P. 521–531.
4. **Bird R. B.** Transport phenomena / R. B. Bird, W. E. Stewart, E. N. Lightfoot. N. Y.: John Wiley and Sons, 1960.
5. **Voinov V. V.** Exact solutions of the problem of the motion of the interface between immiscible fluids in a porous medium // J. Appl. Mech. Tech. Phys. 1991. V. 32, N 1. P. 64–67.
6. **Bakhtiyarov S. I., Siginer D. A.** A note on the laminar core-annular flow of two immiscible fluids in a horizontal tube // Proc. of the Intern. symp. on liquid-liquid two phase flow and transport phenomena. Santa Barbara: Begell house, 1997. P. 107–111.
7. **Chamkha A. J.** Flow of two immiscible fluids in porous and nonporous channels // J. Fluids Engng. 2000. V. 122. P. 117–124.

8. **Kamisli F., Oztop H. F.** Second law analysis of the 2D laminar flow of two-immiscible, incompressible viscous fluids in a channel // Heat Mass Transfer. 2008. V. 44. P. 751–761.
9. **Stokes V. K.** Couple stresses in fluid // Phys. Fluids. 1966. V. 9. P. 1709–1715.
10. **Stokes V. K.** Theories of fluids with microstructures. Berlin; Heidelberg; N. Y., etc.: Springer-Verlag, 1984.
11. **Stokes V. K.** Effects of couple stresses in fluids on hydromagnetic channel flows // Phys. Fluids. 1968. V. 11. P. 1131–1133.
12. **Stokes V. K.** On some effects of couple stresses in fluids on heat transfer // J. Heat Transfer. 1969. V. 91. P. 182–184.
13. **Paoletti S., Rispoli F., Sciubba E.** Calculation exergetic losses in compact heat exchanger passages // Proc. ASME. Adv. Energy Systems Division. 1989. V. 10. P. 21–29.

*Поступила в редакцию 14/IV 2014 г.,
в окончательном варианте — 14/X 2014 г.*
